

# Надбарьерное отражение

Побойко Игорь

29 апреля 2017 года

В данном семинаре будет рассмотрена задача надбарьерного рассеяния частиц в квазиклассическом потенциале. Трудность заключается в том, что с точки зрения «наивной» квазиклассики, в отсутствии квазиклассических точек остановки  $U(x) = E$ , волновая функция устроена следующим образом:

$$\psi(x) = \frac{1}{\sqrt{p(x)}} \exp\left(i \int^x p(x) dx\right), \quad p(x) = \sqrt{2m(E - U(x))} \quad (1)$$

Такая волновая функция тривиальна — она не содержит отражённой волны, коэффициент отражения  $R = 0$ , а прохождения  $T = 1$ . Конечно, это не соответствует действительности — в потенциале самого общего вида *всегда* имеется отражение. На примере точно решаемых задач мы знаем, что коэффициенты надбарьерного отражения от плавных потенциалов, как правило, экспоненциально малы — и они попросту выходят за рамки точности такого «наивного» квазиклассического приближения. В качестве примера мы рассмотрим движение частицы энергии  $E$  в следующем потенциале:

$$U(x) = -\frac{1}{2}m\omega^2 x^2 \quad (2)$$

Напомним, что этот потенциал относится к классу точнорешаемых методом Лапласа (волновые функции выражаются через функции параболического цилиндра). В частности, известны точные амплитуды прохождения и отражения:

$$\begin{cases} r &= \sqrt{\frac{\pi}{2}} \frac{e^{-i\beta - i\beta \ln 2 - i\pi/2}}{e^{\pi\beta/2} \cosh \pi\beta \Gamma(\frac{1}{2} + i\beta)} \\ t &= \sqrt{\frac{\pi}{2}} \frac{e^{-i\beta - i\beta \ln 2}}{e^{-\pi\beta/2} \cosh \pi\beta \Gamma(\frac{1}{2} + i\beta)} \end{cases} \Rightarrow \begin{cases} R &= \frac{1}{1 + e^{2\pi\beta}} \\ T &= \frac{1}{1 + e^{-2\pi\beta}} \end{cases}, \quad \beta = \frac{E}{\omega} \quad (3)$$

Ключевой идеей во всём изложении будет использование аналитической структуры потенциала (и волновой функции) в комплексной плоскости. В комплексной плоскости у такого потенциала всё-таки имеются комплексные точки остановки<sup>1</sup>:  $\frac{1}{2}m\omega^2 x^2 = -E \Rightarrow x = x_{1,2} = \pm i x_0 \equiv \pm i \sqrt{\frac{2E}{m\omega^2}}$ . Метод WKB же даёт асимптотики волновой функции во всей комплексной плоскости, за исключением небольшой окрестности комплексных точек остановки — этим мы и воспользуемся. Но для начала, давайте рассмотрим более простой случай — а именно, случай обычной точки остановки и линейного потенциала  $U(x) = -Fx$ .

## Обычная точка остановки

Давайте рассмотрим для простоты обезразмеренную задачу — уравнение Шрёдингера линейном потенциале:

$$-\psi''(z) - z\psi(z) = 0 \quad (4)$$

Квазиклассический импульс имеет вид  $p^2(z) = z \Rightarrow p(z) = \sqrt{z}$ . Поскольку мы имеем дело с комплексной плоскостью, нам нужно определить ветвь квадратного корня — направим её вдоль мнимой оси вниз ( $\arg z = -\frac{\pi}{2}$ ). Квазиклассическое действие имеет вид  $S(z) = \int_0^z p(z) dz = \frac{2}{3}z^{3/2}$ , и произвольное решение (во всей комплексной плоскости, покуда работает квазиклассическое приближение — то есть при  $|z| \gg 1$ ) раскладывается по паре линейно независимых решений следующего вида:

$$\psi(z) = C_+ \psi_+(z) + C_- \psi_-(z), \quad \psi_{\pm}(z) = \frac{1}{z^{1/4}} \exp\left(\pm \frac{2}{3}iz^{3/2}\right) \quad (5)$$

<sup>1</sup> В действительности полученные ответы будут работать не только для буквально потенциала вида  $-x^2$  — конечно, неограниченных снизу таких потенциалов в природе попросту не бывает. Достаточно, чтобы потенциал выглядел как  $-x^2$  вблизи максимума в достаточно широкой области — а именно, при  $x \lesssim |x_{1,2}|$ . В таком виде, исследуемый тут потенциал является потенциалом достаточно общего вида.

## Структура решений WKB

Давайте исследуем, как устроены представленные тут решения в комплексной плоскости, при  $z = |z|e^{i\varphi}$  (напомним, наш выбор разреза соответствует выбору фазы  $\varphi \in (-\frac{\pi}{2}; \frac{3\pi}{2})$ ):

$$\psi_{\pm}(|z|e^{i\varphi}) = \frac{e^{-i\varphi/4}}{|z|^{1/4}} \exp\left(\pm \frac{2}{3}ie^{3i\varphi/2}|z|^{3/2}\right) \quad (6)$$

У этого решения имеются специальные линии, где показатель экспоненты — чисто вещественный, а решения имеют не осциллирующую природу, а экспоненциально возрастающие и затухающие. Эти линии носят название *линий Стокса*, и в данной задаче они устроены следующим образом:

Stokes' lines: $\begin{cases} \arg z = \frac{\pi}{3} & \Rightarrow \psi_{\pm}(z) = \frac{e^{-i\pi/12}}{ z ^{1/4}} \exp\left(\mp \frac{2}{3} z ^{3/2}\right) \\ \arg z = \pi & \Rightarrow \psi_{\pm}(z) = \frac{e^{-i\pi/4}}{ z ^{1/4}} \exp\left(\pm \frac{2}{3} z ^{3/2}\right) \\ \arg z = -\frac{\pi}{3} & \Rightarrow \psi_{\pm}(z) = \frac{e^{i\pi/12}}{ z ^{1/4}} \exp\left(\pm \frac{2}{3} z ^{3/2}\right) \end{cases}$
---

(7)

В противовес им, имеются *линии анти-Стокса*<sup>2</sup>, на которых решения — чисто осциллирующие:

anti-Stokes' lines: $\begin{cases} \arg z = 0 & \Rightarrow \psi_{\pm}(z) = \frac{1}{z^{1/4}} \exp\left(\pm \frac{2}{3}i z ^{3/2}\right) \\ \arg z = \frac{2\pi}{3} & \Rightarrow \psi_{\pm}(z) = \frac{e^{-i\pi/6}}{z^{1/4}} \exp\left(\mp \frac{2}{3}i z ^{3/2}\right) \\ \arg z = \frac{4\pi}{3} & \Rightarrow \psi_{\pm}(z) = \frac{e^{-i\pi/3}}{ z ^{1/4}} \exp\left(\pm \frac{2}{3}i z ^{3/2}\right) \end{cases}$
---

(8)

Структура линий Стокса очень важна с точки зрения метода WKB. С каждым WKB-решением связан целый асимптотический ряд, который можно оптимальным образом просуммировать, получив его *суперасимптотику* — а также неустранимую ошибку, погрешность этого асимптотического ряда. Погрешность, как правило, экспоненциально мала — но если одно решение экспоненциально большое, а второе — экспоненциально маленькое, то может так оказаться, что ошибка экспоненциально большого решения оказывается *больше* экспоненциально маленького решения — в связи с чем сохранение этого решения, вообще говоря, незаконно. Именно это, как правило, происходит на линиях Стокса, где разница между решениями максимальна. В свою очередь это означает, что на линиях Стокса (и только на них!) коэффициент при экспоненциально маленьком решении может измениться скачкообразно. Такой скачок носит названия *явления Стокса*, и это явление будет ключевым для нашего анализа. Давайте проследим, как проявляет себя явление Стокса для функции Эйри.

## Функция Эйри

Итак, функция Эйри определяется как решение рассматриваемого нами дифференциального уравнения<sup>3</sup>, которое при  $z < 0$  содержит чисто экспоненциально затухающее решение. Важно, что  $z < 0$  — это линия Стокса, и зафиксировать решение, выбрав только *экспоненциально растущее решение* на линии Стокса невозможно (т.к. коэффициент при экспоненциально затухающем в таком случае был бы не определён):

$$\begin{cases} C_+ = 0 \\ C_- = 1 \end{cases}, \quad \arg z = \pi \quad (9)$$

**Обход сверху** Давайте проследим, как это решение устроено в комплексной плоскости, «обходя» точку остановки сверху — вдоль контура  $z = |z|e^{i\varphi}$ ,  $\varphi \in (\pi, 0)$ .

- $\pi > \arg z > \frac{\pi}{3}$ : покуда мы не пересекаем линии Стокса, коэффициенты  $C_{\pm}$  изменяться не могут — из чего мы заключаем следующее:

$\begin{cases} C_+ = 0 \\ C_- = 1 \end{cases}, \quad \pi > \arg z > \frac{\pi}{3}$
--

(10)

- $\arg z = \frac{\pi}{3}$ . На этой ней решение  $\psi_+(z)$ , которое было экспоненциально растущим, становится экспоненциально маленьким — в связи с чем коэффициент  $C_+$  может измениться произвольным образом. С другой стороны, решение  $\psi_-(z)$ , которое было затухающим, стало растущим, и коэффициент при нём измениться не может!

- $-\frac{\pi}{3} < \arg z < \frac{\pi}{3}$ : вплоть до следующей линии Стокса мы тем самым можем записать:

$\begin{cases} C_+ = ? \\ C_- = 1 \end{cases}, \quad -\frac{\pi}{3} < \arg z < \frac{\pi}{3}$
---

(11)

<sup>2</sup>Терминология, увы, порой разнится. В частности, в математической литературе иногда определения поменяны местами

<sup>3</sup>На самом деле, у функции Эйри коэффициент при линейной части имеет другой знак, поэтому решения нашего уравнения — это  $Ai(-z)$

Таким образом, мы дошли до вещественной оси  $z > 0$ , обойдя комплексную точку остановки сверху, и смогли определить один из коэффициентов. Второй коэффициент можно найти двумя способами, и мы изложим оба.

**Вещественность** Первый аргумент прост, но менее универсален. Заметим, что решение  $\tilde{\psi}(z) = e^{i\pi/4}\psi(z)$  при  $z < 0$  чисто вещественно, поэтому оно обязано быть вещественным и при  $z > 0$ . С другой стороны, при  $z > 0$  имеем:

$$\tilde{\psi}(z > 0) = \frac{C_+ e^{i\pi/4}}{z^{1/4}} \exp\left(\frac{2}{3}iz^{3/2}\right) + \frac{e^{i\pi/4}}{z^{1/4}} \exp\left(-\frac{2}{3}iz^{3/2}\right) \quad (12)$$

Полученная комбинация вещественна только при  $C_+ = e^{-i\pi/2} = -i$ . Из этого мы заключаем:

$$\boxed{\begin{cases} C_+ = -i \\ C_- = 1 \end{cases}, \quad -\frac{\pi}{3} < \arg z < \frac{\pi}{3}}, \quad (13)$$

а само решение  $\tilde{\psi}(z)$  на вещественной оси имеет следующий вид<sup>4</sup>:

$$\tilde{\psi}(z) = \begin{cases} \frac{1}{|z|^{1/4}} e^{-\frac{2}{3}|z|^{3/2}}, & z < 0 \\ \frac{2}{z^{1/4}} \cos\left(\frac{2}{3}z^{3/2} - \frac{\pi}{4}\right), & z > 0 \end{cases} \quad (14)$$

**Обход снизу** Второй способ следующий. Предлагается посмотреть, что же будет происходить при обходе снизу.

- $\frac{3\pi}{2} > \arg z > \pi$ : имеется небольшое отличие от предыдущего способа — а именно, наш обход сперва упирается в разрез, который был пущен вдоль  $\arg z = \frac{3\pi}{2}$ , на котором коэффициенты тоже, вообще говоря, могут изменяться:

$$\boxed{\begin{cases} C_+ = 0 \\ C_- = 1 \end{cases}, \quad \frac{3\pi}{2} > \arg z > \pi} \quad (15)$$

- $\arg z = \frac{3\pi}{2} \vee \arg z = -\frac{\pi}{2}$ . Изменение коэффициентов на разрезе определяется очень просто. Дело в том, что построенный нами разрез — вещь фиктивная: само решение, конечно, является однозначной функцией во всей комплексной плоскости. Разрез мы сделали сами (при этом мы могли пустить его куда угодно), и он был нужен нам для определения WKB-решений. Решение при  $\arg z = \frac{3\pi}{2}$  и  $\arg z = -\frac{\pi}{2}$  должны тождественно совпадать:

$$C_+ \psi_+ (|z| e^{3i\pi/2}) + C_- \psi_- (|z| e^{3i\pi/2}) \equiv C'_+ \psi_+ (|z| e^{-i\pi/2}) + C'_- \psi_- (|z| e^{-i\pi/2}) \quad (16)$$

Если аргумент  $z$  изменить на  $2\pi$  (обойти против часовой стрелке точку ветвления, остановившись на другом берегу разреза), то решения попросту поменяются местами (с точностью до фаз):

$$\psi_{\pm}(ze^{2\pi i}) = \frac{-i}{z^{1/4}} \exp\left(\mp\frac{2}{3}iz^{3/2}\right) = -i\psi_{\mp}(z) \quad (17)$$

и поэтому условие однозначности функции сводится к следующему простому условию спивки:

$$\boxed{\begin{cases} C'_+ = -iC_- \\ C'_- = -iC_+ \end{cases}, \quad \arg z = \frac{3\pi}{2} \vee -\frac{\pi}{2}} \quad (18)$$

- $-\frac{\pi}{2} < \arg z < -\frac{\pi}{3}$ : тем самым, от разреза и до следующей линии Стокса, коэффициенты имеют следующий вид:

$$\boxed{\begin{cases} C_+ = -i \\ C_- = 0 \end{cases}, \quad -\frac{\pi}{3} > \arg z > -\frac{\pi}{2}} \quad (19)$$

- $\arg z = -\frac{\pi}{3}$ : тот факт, что решения поменялись местами на разрезе, нам очень помогает — потому что именно решение  $\psi_+(z)$  на этой линии Стокса экспоненциально растущее, и коэффициент  $C_+$  измениться не может.  $C_-$  же изменяется произвольным образом — но нам оно не интересно, ведь мы его уже нашли, обойдя точку остановки снизу! Тем самым, мы подтверждаем вывод, сделанный из аргумента вещественности.

<sup>4</sup>В этом решении мы немедленно узнаём функцию Эйри  $\tilde{\psi}(z) \equiv \frac{1}{2\sqrt{\pi}} \text{Ai}(-z)$ .

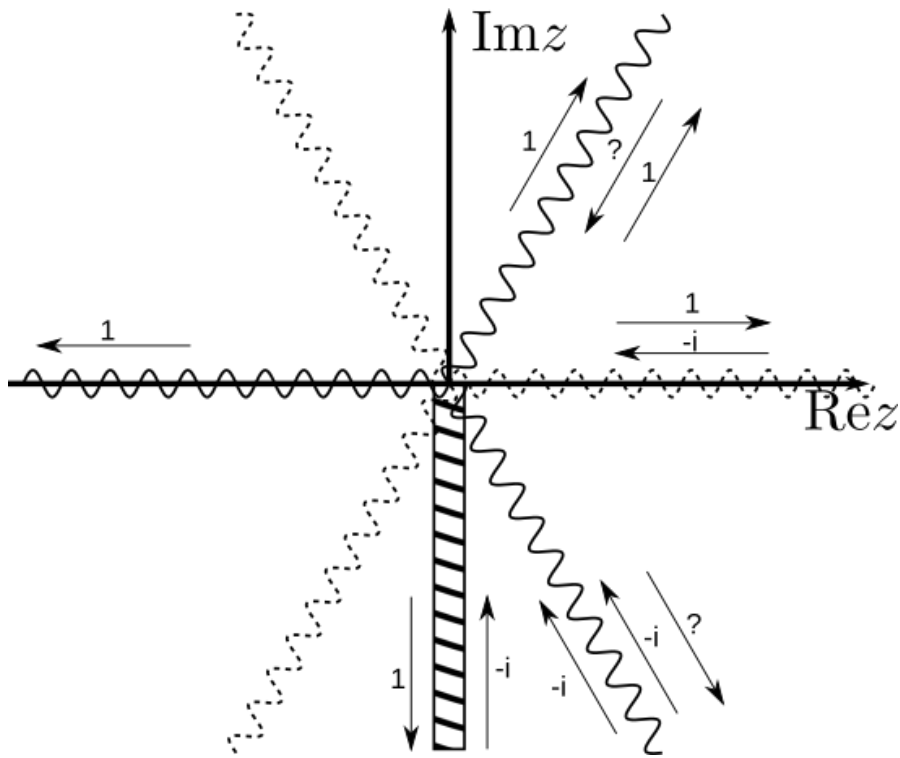


Рис. 1: Структура комплексной плоскости для функции Эйри. Заштрихованная область — разрез. Волнистые сплошные линии — линии Стокса; пунктирные — линии анти-Стокса. Стрелка, направленная к центру — решение  $\psi_+(z)$ ; от центра — решение  $\psi_-(z)$ .

## Квадратичный потенциал

Теперь, продемонстрировав метод на простом примере, давайте его применим к чуть более сложному — а именно, к интересующему нас потенциальному  $U(x) = -\frac{m\omega^2 x^2}{2}$ . Линии Стокса определяются из условия  $\text{Im}S(z) = \text{Im}S(x_{1,2})$ , а анти-Стокса — условием  $\text{Re}S(z) = \text{Re}S(x_{1,2})$ ; они изображены на рисунке.

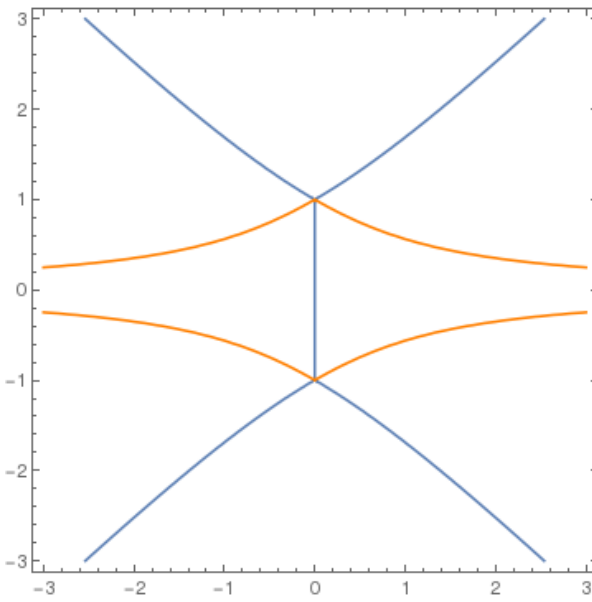


Рис. 2: Линии Стокса (синие) и анти-Стокса (оранжевые) квазиклассических решений в комплексной плоскости ( $\text{Re}x, \text{Im}x$ ) в потенциале  $U(x) = -\frac{m\omega^2 x^2}{2}$ . Оси в единицах  $x_0$ . Третью линию анти-Стокса, которая должна быть направлена вдоль минимум оси, Mathematica рисовать отказалась — видимо, из-за совпадения последней с разрезом.

Видно, что проблема заключается в том, что при движении по вещественной оси мы пересекаем одну из линий Стокса (даже не замечая этого) — и теряем отражённую волну. Для того, чтобы её найти, мы сделаем следующую процедуру: вдоль одной из линий анти-Стокса мы пройдём до одной из комплексных точек остановки; используя анализ, проделан-

ный выше, мы найдём амплитуды обоих волн на второй линии анти-Стокса; а затем мы по ней спустимся обратно на вещественную ось. Таким способом мы сможем найти связь коэффициентов прохождения и отражения<sup>5</sup>.

Квазиклассический импульс имеет следующий вид:

$$p(x) = \sqrt{2m \left( E + \frac{m\omega^2 x^2}{2} \right)} = m\omega \sqrt{x_0^2 + x^2} \quad (20)$$

Можно пустить разрезы  $(x_1, i\infty)$  и  $(-i\infty, x_2)$ , но чуть левее линий анти-Стокса, и зафиксировать физическую ветвь естественным условием вещественности на вещественной оси<sup>6</sup>. Сшивки мы будем проводить, скажем, в окрестности точки остановки  $ix_0$ , где УШ имеет следующий приближённый (обезразмеренный) вид:

$$-\psi''(z) - iz\psi(z) = 0, \quad z = (2m^2\omega^2 x_0)^{1/3}(x - ix_0) \quad (21)$$

**Сшивка вблизи  $x_1 = ix_0$**  Сразу можно обсудить применимость изложенного метода. Квазиклассическое приближение для этого уравнения будет работать при  $|z| \gg 1$ , а само разложение потенциала работает покуда  $|x - x_1| \ll x_0 \Leftrightarrow |z| \ll (\frac{E}{\omega})^{2/3}$ . Тем самым, имеется ненулевая область применения только если  $E \gg \omega$  — что довольно естественно. С учётом этого, импульс и действие, а также квазиклассические решения имеют вид:

$$p(z) = \sqrt{iz} = e^{i\pi/4} z^{1/2}, \quad S(z) = \frac{2}{3} e^{i\pi/4} z^{3/2}, \quad \psi_{\pm}(z) = \frac{e^{-i\pi/8}}{z^{1/4}} e^{\pm \frac{2}{3} i e^{i\pi/4} z^{3/2}} \quad (22)$$

Разрез корня уходит вверх,  $\arg z \in (-\frac{3\pi}{2}; \frac{\pi}{2})$ , а условие, фиксирующее ветвь — при  $z = -i|z|$ ,  $p(z)$  вещественно (что как раз соответствует «физической» ветви). На линиях Стокса и анти-Стокса решения принимают следующие значения:

$$\text{Stokes: } \begin{cases} \arg z = \frac{\pi}{6} \Rightarrow \psi_{\pm}(z) = \frac{e^{-i\pi/6}}{|z|^{1/4}} e^{\mp \frac{2}{3}|z|^{3/2}} \\ \arg z = -\frac{\pi}{2} \Rightarrow \psi_{\pm}(z) = \frac{1}{|z|^{1/4}} e^{\pm \frac{2}{3}|z|^{3/2}} \\ \arg z = -\frac{7\pi}{6} \Rightarrow \psi_{\pm}(z) = \frac{e^{i\pi/6}}{|z|^{1/4}} e^{\mp \frac{2}{3}|z|^{3/2}} \end{cases}, \quad \text{anti-Stokes: } \begin{cases} \arg z = \frac{\pi}{2} \Rightarrow \psi_{\pm}(z) = \frac{e^{-i\pi/4}}{|z|^{1/4}} e^{\mp \frac{2}{3}i|z|^{3/2}} \\ \arg z = -\frac{\pi}{6} \Rightarrow \psi_{\pm}(z) = \frac{e^{-i\pi/12}}{|z|^{1/4}} e^{\pm \frac{2}{3}i|z|^{3/2}} \\ \arg z = -\frac{5\pi}{6} \Rightarrow \psi_{\pm}(z) = \frac{e^{i\pi/12}}{|z|^{1/4}} e^{\mp \frac{2}{3}i|z|^{3/2}} \end{cases} \quad (23)$$

- На линии анти-Стокса  $\arg z = -\frac{\pi}{6}$ , решение  $\psi_+(z)$  соответствует прошёлшей волне, а  $\psi_-(z)$  — падающей. Поскольку мы решаем задачу рассеяния, мы фиксируем решение следующим образом:

$$\begin{cases} C_+ = \tilde{t} \\ C_- = 0 \end{cases}, \quad \arg z = -\frac{\pi}{6} \quad (24)$$

- $\frac{\pi}{2} > \arg z > -\frac{\pi}{2}$ : обходим сверху. На линии Стокса  $\arg z = \frac{\pi}{6}$ , решение  $\psi_+(z)$  экспоненциально затухает, а  $\psi_-(z)$  — растёт. Коэффициент  $C_-$  тем самым не может измениться; однако, поскольку он равен 0, то измениться не может также и  $C_+$ . Поэтому написанные выше коэффициенты, в действительности, работают вплоть до разреза  $\arg z = \frac{\pi}{2}$ :

$$\begin{cases} C_+ = \tilde{t} \\ C_- = 0 \end{cases}, \quad \frac{\pi}{2} > \arg z > -\frac{\pi}{2} \quad (25)$$

- $-\frac{7\pi}{6} > \arg z > -\frac{3\pi}{2}$ : сшивка на разрезе делается аналогично из требования однозначности функции. При обходе точки ветвления снизу против часовой стрелке, решения опять-таки меняются местами с дополнительной фазой:  $\psi_{\pm}(ze^{2\pi i}) = -i\psi_{\mp}(z)$ , поэтому слева (вплоть до линии Стокса  $\arg z = -\frac{7\pi}{6}$ ) и справа от разреза коэффициенты связаны:  $C'_{\pm} = -iC_{\mp}$ . В частности:

$$\begin{cases} C_+ = 0 \\ C_- = -i\tilde{t} \end{cases}, \quad -\frac{7\pi}{6} > \arg z > -\frac{3\pi}{2} \quad (26)$$

- $-\frac{\pi}{2} > \arg z > -\frac{7\pi}{6}$ : наконец, на линии Стокса  $\arg z = -\frac{7\pi}{6}$ , решение  $\psi_-$  экспоненциально растёт, поэтому  $C_-$  не меняется. Мы заключаем:

$$C_- = -i\tilde{t}, \quad -\frac{\pi}{2} > \arg z > -\frac{7\pi}{6} \quad (27)$$

- Теперь давайте устроим обход снизу. Он устроен куда проще, ведь на ближайшей линии Стокса  $\arg z = -\frac{\pi}{2}$ , решение  $\psi_+$  экспоненциально растёт — поэтому  $C_+$  не меняется, а значит в этом же секторе имеем:

$$C_+ = \tilde{t}, \quad -\frac{\pi}{2} > \arg z > -\frac{7\pi}{6}$$

Тем самым, мы получили слева как падающую ( $\psi_+$ ), так и отражённую ( $\psi_-$ ) волны.

<sup>5</sup>Удобней всего «ходить» именно по линиям анти-Стокса, потому что на них оба решения всегда всегда законно сохранять; а кроме того, поскольку на вещественной оси решения тоже чисто осциллирующие, то линии анти-Стокса, связанные с точкой остановки, асимптотически с ней приближаются.

<sup>6</sup>Выбор разрезов и ветвей, конечно же, совершенно произволен. Единственное — может быть неудобно, если разрез совпадает буквально с линией Стокса или анти-Стокса, с которыми мы будем работать

**Вещественная ось** Теперь давайте вернёмся на вещественную ось, и найдём коэффициенты прохождения и отражения. Вещественное решение определено следующим образом:

$$\psi(x) = \begin{cases} \frac{1}{\sqrt{p(x)}} e^{i \int_0^x p(x) dx} + \frac{r}{\sqrt{p(x)}} e^{-i \int_0^x p(x) dx}, & x < 0 \\ \frac{t}{\sqrt{p(x)}} e^{-i \int_0^x p(x) dx}, & x > 0 \end{cases} \quad (28)$$

(в отличии от решения  $\psi_{\pm}$ , тут интегрирование ведётся от нуля — или во всяком случае, от произвольной точки на вещественной оси — это важно!). Это же решение переписывается в следующем виде:

$$\psi(x) = \begin{cases} e^{i \int_0^{x_1} p(x) dx} \psi_+(x) + r e^{-i \int_0^{x_1} p(x) dx} \psi_-(x), & \text{Re } x < 0 \\ t e^{i \int_0^{x_1} p(x) dx} \psi_+(x), & \text{Re } x > 0 \end{cases} \quad (29)$$

Сравнивая с найденным выше квазиклассическим решением, мы получаем:

$$\begin{cases} r = -i e^{2i \int_0^{x_1} p(x) dx} \\ t = 1 \end{cases} \quad (30)$$

(отличие  $t$  от 1 уже находится за пределами квазиклассического приближения — условие  $|t|^2 + |r|^2 = 1$  гарантирует, что поправка к  $t$  должна быть того же порядка, что и  $|r|^2$ ). Тем самым, мы получили ключевую формулу для коэффициента отражения:

$$R = |r|^2 = e^{-4\text{Im} \int_0^{x_1} p(x) dx} \quad (31)$$

Поскольку  $x_1 = ix_0$ , то  $\text{Im}(dx) > 0$  и, тем самым, ответ действительно экспоненциально мал. В действительности, для данной формулы совершенно неважен вид потенциала, и коэффициент отражения определяется таким интегралом, взятым до ближайшей к вещественной оси комплексной точки остановки, лежащей в верхней комплексной полуплоскости. Неважен также и нижний предел интегрирования — интегрировать можно от любой точки, лежащей на действительной оси, т.к. добавляемый при этом интеграл по вещественной оси чисто вещественный и вклада не даёт. Интересные модификации этой задачи включают в себя случаи, когда параметрически близко к комплексной точкой остановки располагается полюс<sup>7</sup>, или если имеется несколько комплексных точек остановки, лежащих на одинаковом расстоянии от вещественной оси<sup>8</sup>. Для нашей же задачи осталось лишь сосчитать тривиальный интеграл, воспроизводящий часть точного ответа

$$\int_0^{x_1} p(x) dx = im\omega x_0^2 \int_0^1 \sqrt{1-z^2} dz = i \frac{\pi E}{2\omega} \Rightarrow [R = e^{-2\pi E/\omega}] \quad (32)$$

### Точное решение для потенциала $U(x) = -\frac{m\omega^2 x^2}{2}$

Для потенциала нужного вида можно найти точные коэффициенты прохождения и отражения, используя квазиклассическое приближение и не прибегая к сложному решению, использующему метод Лапласа. Идея метода заключается в том, что такой потенциал *всегда* квазиклассический на достаточно большом удалении от максимума (в том числе и в комплексной плоскости) — а именно, на расстояниях  $|x| \gg x_0$ , и обход можно провести вообще вдали от обеих точек остановки. Выпишем квазиклассическое действие:

$$S(z) = \int_0^z m\omega \sqrt{x_0^2 + x^2} dx \underset{|z| \gg x_0}{\approx} \int_0^z m\omega \left( x + \frac{x_0^2}{2x} \right) dx = \frac{m\omega z^2}{2} + \frac{E}{\omega} \ln \frac{z}{x_0} + O(1) \quad (33)$$

(константу тоже можно найти, но интересовать она нас не будет). До сих пор мы все спивки проводили в промежуточной области  $\left(\frac{1}{m(\omega^2 E)^{1/3}}\right)^{1/2} \ll |z \pm ix_0| \ll \sqrt{\frac{E}{m\omega^2}}$ , а теперь предлагается провести обход в комплексной плоскости сильно дальше обеих комплексных точек остановки — а именно, при  $z \gg x_0$ . Проведём разрез вниз, выбрав ветвь  $\arg z \in (-\frac{\pi}{2} - 0, \frac{3\pi}{2} - 0)$  (чуть левее, чтобы не «наползать» на линию анти-Стокса; что, впрочем, несущественно); исследуем линии Стокса и анти-Стокса квазиклассических решений. У всех у них будет одинаковый дополнительный фазовый множитель  $\frac{E}{\omega} \ln \frac{|z|}{x_0} + O(1)$ , который нас интересовать не будет и мы его опустим; но с другой стороны, фаза  $\varphi$ , возникшая от логарифма, весьма существенна и приводит к появлению дополнительных констант:

<sup>7</sup>Что не так экзотично, как может показаться. Действительно, точка остановки определяется условием  $E = U(x)$ , и если энергия большая, то большим также должен быть и потенциал. А как правило, потенциал как раз расходится вблизи полюсов. В таком случае, решать уравнение Шрёдингера в окрестности приходится точнее.

<sup>8</sup>В таком случае может существовать линия анти-Стокса, их соединяющая — приходится проводить несколько спивок вблизи каждой из точек остановки. При этом может возникнуть интересные интерференционные явления — интерференция волн в комплексной плоскости между точками остановки...

$$\text{Stokes : } \begin{cases} \arg z = -\frac{\pi}{4} \Rightarrow \psi_{\pm}(z) \approx \frac{e^{\pm\pi E/4\omega} e^{i\pi/8}}{\sqrt{m\omega|z|}} e^{\pm m\omega^2|z|^2/2} \\ \arg z = \frac{\pi}{4} \Rightarrow \psi_{\pm}(z) \approx \frac{e^{\mp\pi E/4\omega} e^{-i\pi/8}}{\sqrt{m\omega|z|}} e^{\mp m\omega^2|z|^2/2} \\ \arg z = \frac{3\pi}{4} \Rightarrow \psi_{\pm}(z) \approx \frac{e^{\mp 3\pi E/4\omega} e^{-3i\pi/8}}{\sqrt{m\omega|z|}} e^{\pm m\omega^2|z|^2/2} \\ \arg z = \frac{5\pi}{4} \Rightarrow \psi_{\pm}(z) \approx \frac{e^{\mp 5\pi E/4\omega} e^{-5i\pi/8}}{\sqrt{m\omega|z|}} e^{\mp m\omega^2|z|^2/2} \end{cases} \quad (34)$$

$$\text{anti-Stokes: } \begin{cases} \arg z = -\frac{\pi}{2} \Rightarrow \psi_{\pm}(z = |z|e^{i\varphi}) \approx \frac{e^{\pm\pi E/2\omega} e^{i\pi/4}}{\sqrt{m\omega|z|}} e^{\mp im\omega^2|z|^2/2} \\ \arg z = 0 \Rightarrow \psi_{\pm}(z = |z|e^{i\varphi}) \approx \frac{1}{\sqrt{m\omega|z|}} e^{\pm im\omega^2|z|^2/2} \\ \arg z = \frac{\pi}{2} \Rightarrow \psi_{\pm}(z = |z|e^{i\varphi}) \approx \frac{e^{\mp\pi E/2\omega} e^{-i\pi/4}}{\sqrt{m\omega|z|}} e^{\mp im\omega^2|z|^2/2} \\ \arg z = \pi \Rightarrow \psi_{\pm}(z = |z|e^{i\varphi}) \approx \frac{e^{\mp\pi E/\omega} e^{-i\pi/2}}{\sqrt{m\omega|z|}} e^{\pm im\omega^2|z|^2/2} \end{cases} \quad (35)$$

(линий Стокса и анти-Стокса по 4 штуки, что можно заметить в том числе и из более общей картинки, которая изображалась выше). Что же мы имеем при обходе комплексной плоскости, скажем, сверху?

- $\frac{\pi}{4} > \arg z > -\frac{\pi}{4}$ : решение фиксируется наличием только прошёдшей волны при  $z > 0$ ; причём поскольку всё происходит на вещественной оси, то амплитуда — это буквально амплитуда прохождения,  $t$ :

$$\begin{cases} C_+ = t, & \frac{\pi}{4} > \arg z > -\frac{\pi}{4} \\ C_- = 0, & \end{cases} \quad (36)$$

- $\frac{3\pi}{4} > \arg z > \frac{\pi}{4}$ : на линии Стокса  $\arg z = \frac{\pi}{4}$ , решение  $\psi_+$  экспоненциально затухает, а  $\psi_-$  — растёт. Как и раньше, это означает, что  $C_-$  при этом не меняется; но поскольку оно строго равно нулю, то не может измениться также и  $C_+$ , поэтому амплитуды ровно такие же вплоть до следующей линии Стокса  $\arg z = \frac{3\pi}{4}$ :

$$\begin{cases} C_+ = t, & \frac{3\pi}{4} > \arg z > \frac{\pi}{4} \\ C_- = 0, & \end{cases} \quad (37)$$

- $\frac{5\pi}{4} > \arg z > \frac{3\pi}{4}$ : на линии Стокса  $\arg z = \frac{3\pi}{4}$ , решение  $\psi_+$  опять экспоненциально растёт, поэтому  $C_+$  не меняется; а вот  $C_-$  может измениться произвольным образом. Получаем:

$$C_+ = t, \quad \frac{5\pi}{4} > \arg z > \frac{3\pi}{4}$$

К сожалению, в отличии от случая с функцией Эйри, обход снизу ничего нового не даст, т.к. при этом тоже придётся пересекать две линии Стокса. Поэтому найти полностью амплитуды прохождения и отражения (с фазами) для такой задачи невозможно. Но полученной связи, в дополнение к условию  $R + T = 1$  оказывается достаточно для нахождения самих  $R$  и  $T$ . Для того, чтобы это сделать, достаточно посмотреть на квазиклассические падающие, отражённые и прошедшие волны, нормированные на константный поток, и сравнить их с комплексными квазиклассическими решениями, выписанными выше:

$$\begin{cases} \psi_i(x < 0) \simeq \frac{1}{\sqrt{p(x)}} e^{-im\omega^2 x^2/2} \equiv e^{-\pi E/\omega} e^{i\pi/2} \cdot \psi_-(|x|e^{i\pi}) \\ \psi_r(x < 0) \simeq \frac{1}{\sqrt{p(x)}} e^{im\omega^2 x^2/2} \equiv e^{\pi E/\omega} e^{i\pi/2} \psi_+(|x|e^{i\pi}) \\ \psi_t(x > 0) \simeq \frac{1}{\sqrt{p(x)}} e^{im\omega^2 x^2/2} \equiv \psi_+(|x|) \end{cases} \quad (38)$$

Из этого мы заключаем, что амплитуды прохождения и отражения связаны условием  $r = e^{-\pi E/\omega} e^{-i\pi/2} t$ . Можно убедиться, что точные амплитуды прохождения и отражения, хотя и устроены достаточно сложно, но тем не менее этому простому соотношению удовлетворяют! Добавляя условие  $R + T = 1$ , мы воспроизводим точный ответ, выписанный в начале семинара:

$$\boxed{\begin{cases} R = \frac{1}{1+e^{2\pi E/\omega}} \\ T = \frac{1}{1+e^{-2\pi E/\omega}} \end{cases}} \quad (39)$$